

x/l	Profil Nr. 335		Profil Nr. 336		Profil Nr. 337		Profil Nr. 339		Profil Nr. 340		x/l
	y_1/l	y_2/l	y_1/l	y_2/l	y_1/l	y_2/l	y_1/l	y_2/l	y_1/l	y_2/l	
0,0000	0,0000	0,0000	0,0000	0,0000	0,0000	0,0000	0,0000	0,0000	0,0000	0,0000	0,0000
0,0020	0,0096	-0,0090	0,0085	-0,0080	0,0075	-0,0070	0,0048	-0,0045	0,0024	-0,0023	0,0020
0,0040	0,0153	-0,0135	0,0136	-0,0120	0,0119	-0,0105	0,0076	-0,0067	0,0039	-0,0034	0,0040
0,0080	0,0241	-0,0172	0,0215	-0,0153	0,0188	-0,0134	0,0121	-0,0086	0,0062	-0,0044	0,0080
0,0120	0,0307	-0,0195	0,0273	-0,0173	0,0239	-0,0152	0,0154	-0,0097	0,0078	-0,0050	0,0120
0,0160	0,0361	-0,0220	0,0321	-0,0196	0,0281	-0,0171	0,0181	-0,0110	0,0092	-0,0056	0,0160
0,0200	0,0409	-0,0231	0,0364	-0,0205	0,0318	-0,0180	0,0205	-0,0115	0,0105	-0,0059	0,0200
0,0240	0,0451	-0,0250	0,0401	-0,0223	0,0351	-0,0195	0,0226	-0,0125	0,0115	-0,0064	0,0240
0,0280	0,0496	-0,0261	0,0441	-0,0232	0,0386	-0,0203	0,0248	-0,0130	0,0127	-0,0067	0,0280
0,0340	0,0549	-0,0280	0,0488	-0,0249	0,0427	-0,0218	0,0274	-0,0140	0,0140	-0,0072	0,0340
0,0400	0,0603	-0,0297	0,0536	-0,0264	0,0469	-0,0231	0,0301	-0,0148	0,0154	-0,0076	0,0400
0,0500	0,0684	-0,0312	0,0608	-0,0277	0,0532	-0,0243	0,0342	-0,0156	0,0175	-0,0080	0,0500
0,0600	0,0753	-0,0327	0,0669	-0,0290	0,0586	-0,0254	0,0376	-0,0163	0,0192	-0,0083	0,0600
0,0700	0,0814	-0,0340	0,0724	-0,0302	0,0633	-0,0265	0,0407	-0,0170	0,0208	-0,0087	0,0700
0,0800	0,0874	-0,0355	0,0777	-0,0316	0,0680	-0,0276	0,0437	-0,0178	0,0223	-0,0091	0,0800
0,1000	0,0973	-0,0370	0,0865	-0,0329	0,0757	-0,0288	0,0487	-0,0185	0,0249	-0,0095	0,1000
0,1200	0,1057	-0,0382	0,0940	-0,0340	0,0822	-0,0297	0,0529	-0,0191	0,0270	-0,0098	0,1200
0,1600	0,1186	-0,0397	0,1054	-0,0353	0,0923	-0,0309	0,0593	-0,0199	0,0303	-0,0101	0,1600
0,2000	0,1279	-0,0402	0,1137	-0,0357	0,0995	-0,0313	0,0640	-0,0201	0,0327	-0,0103	0,2000
0,2500	0,1350	-0,0405	0,1200	-0,0360	0,1050	-0,0315	0,0675	-0,0202	0,0345	-0,0103	0,2500
0,3000	0,1390	-0,0402	0,1236	-0,0357	0,1081	-0,0313	0,0695	-0,0201	0,0355	-0,0103	0,3000
0,3500	0,1401	-0,0399	0,1246	-0,0354	0,1090	-0,0310	0,0700	-0,0200	0,0358	-0,0102	0,3500
0,4000	0,1378	-0,0394	0,1225	-0,0350	0,1072	-0,0307	0,0689	-0,0197	0,0352	-0,0101	0,4000
0,4500	0,1332	-0,0378	0,1184	-0,0336	0,1036	-0,0294	0,0666	-0,0189	0,0340	-0,0097	0,4500
0,5000	0,1266	-0,0358	0,1125	-0,0318	0,0985	-0,0279	0,0633	-0,0179	0,0323	-0,0092	0,5000
0,5500	0,1173	-0,0328	0,1042	-0,0292	0,0912	-0,0255	0,0586	-0,0164	0,0300	-0,0084	0,5500
0,6000	0,1087	-0,0306	0,0966	-0,0272	0,0846	-0,0238	0,0544	-0,0153	0,0278	-0,0078	0,6000
0,6500	0,0984	-0,0279	0,0874	-0,0248	0,0765	-0,0217	0,0492	-0,0139	0,0251	-0,0071	0,6500
0,7000	0,0862	-0,0243	0,0766	-0,0216	0,0671	-0,0189	0,0431	-0,0121	0,0220	-0,0062	0,7000
0,7500	0,0735	-0,0210	0,0653	-0,0187	0,0572	-0,0163	0,0367	-0,0105	0,0188	-0,0054	0,7500
0,8000	0,0603	-0,0171	0,0536	-0,0152	0,0469	-0,0133	0,0301	-0,0085	0,0154	-0,0044	0,8000
0,8500	0,0456	-0,0136	0,0405	-0,0121	0,0355	-0,0106	0,0228	-0,0068	0,0116	-0,0035	0,8500
0,9000	0,0316	-0,0091	0,0281	-0,0081	0,0246	-0,0071	0,0158	-0,0046	0,0081	-0,0023	0,9000
0,9400	0,0207	-0,0063	0,0184	-0,0056	0,0161	-0,0049	0,0103	-0,0031	0,0053	-0,0016	0,9400
0,9700	0,0111	-0,0046	0,0099	-0,0041	0,0086	-0,0036	0,0055	-0,0023	0,0028	-0,0012	0,9700
1,0000	0,0022	-0,0015	0,0020	-0,0013	0,0017	-0,0012	0,0011	-0,0007	0,0006	-0,0004	1,0000

2. POMIARY PŁATÓW O RÓŻNYCH OBRYŚACH I ROZCHYLENIACH SKRZYDEŁ

Celem określenia wpływu rozchylenia skrzydeł i obrysu płata na jego właściwości aerodynamiczne, wykonano szereg modeli płatów, kształty których podane są na rysunkach zawierających wyniki pomiarów dla odnośnych płatów. Wszystkie płaty posiadały ten sam profil Nr. 40 oraz jednakowe wydłużenie $\lambda = 5$, rozpiętości $L = 0,5$ m. i powierzchnię nośną $S = 0,05$ m². Wyniki pomiarów przedstawione są przez współczynniki oderwane C_y , C_x i C_m będące współczynnikami proporcjonalności w wyrażeniach określających:

$$1. \text{ Siłę nośną płata} \quad P_y = \frac{C_y}{100} q S$$

$$2. \text{ opór czołowy płata} \quad P_x = \frac{C_x}{100} q S$$

3. moment siły wypadkowej działającej na płat względem prostej przecięcia się dwóch płaszczyzn do siebie prostopadłych, przyczem jedna z nich jest prostopadła do płaszczyzny symetrii płata i zawiera cięciwę profilu środkowego, druga zaś jest styczna do czoła tegoż profilu.

$$M = \frac{C_m}{100} q S l$$

Na rysunkach umieszczonych na str. 108 do 116 podane są wykresy wartości współczynników C_x i C_m w zależności od współczynnika C_y oraz wykresy wartości C_y , C_x i C_y/C_x w zależności od kąta natarcia i^0 płata. Kąty natarcia i^0 płata mierzono względem cięciwy profilu środkowego. Na każdym rysunku podane są pozatem, w zależności od kąta natarcia i^0 , odległości środka parcia (punkt, w którym linia działania wypadkowej siły aerodynamicznej przecina cięciwę profilu płata) od prostej, względem której obliczone zostały wartości współczynników momentów C_m . Odległości środka parcia obliczano w $\%$ szerokości środkowego profilu płata, korzystając ze wzoru

$$e^0/0 = \frac{C_m}{C_y \cos i + C_x \sin i} \cdot 100$$

Tablice umieszczone na str. 116 do 120 zawierają liczbowe wartości na C_y , C_x , C_m , C_y/C_x , c_y^3/c_x^2 , $e^0/0$, C_n i C_t . Tablice te uszeregowane są według kolejności numerów doświadczeń. Spółrzędne profilu Nr. 40 podane są na str. 102.

2. MESURES DES AILES AVEC CONTOURS ET DIÈDRES DIFFÉRENTS

Afin de déterminer l'influence du dièdre et du contour de l'aile sur ses propriétés aérodynamiques, on a exécuté une série de maquettes d'ailes, dont les formes sont représentées sur les figures contenant les résultats des mesures pour les ailes respectives. Toutes les ailes possédaient le même profil No. 40, ainsi que des allongements égaux $\lambda=5$, des mêmes envergures $L = 0,5$ m. et les mêmes surfaces portantes $S = 0,05$ m². Les résultats des mesures sont représentés par les coefficients abstraits C_y , C_x et C_m figurant dans les formules de:

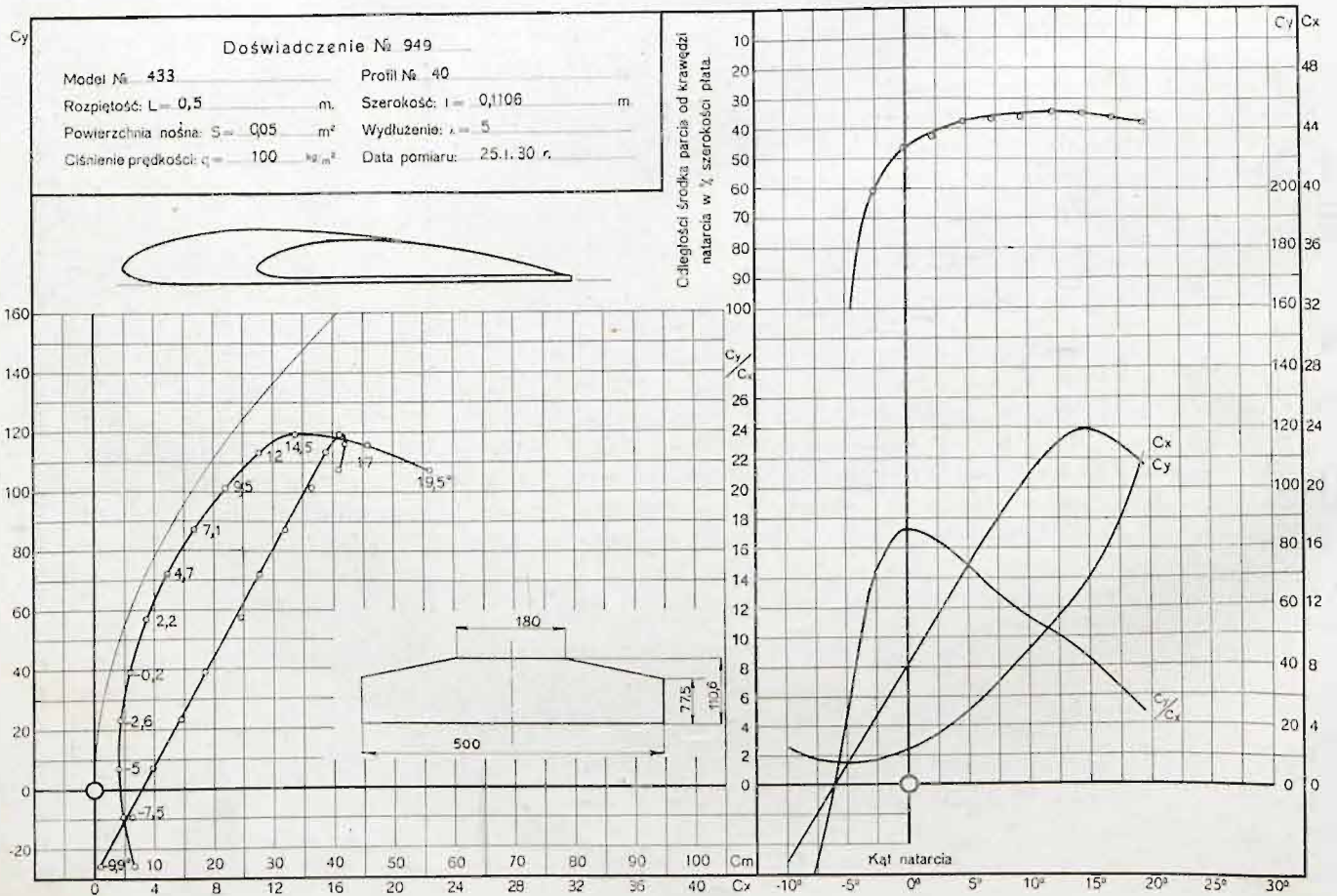
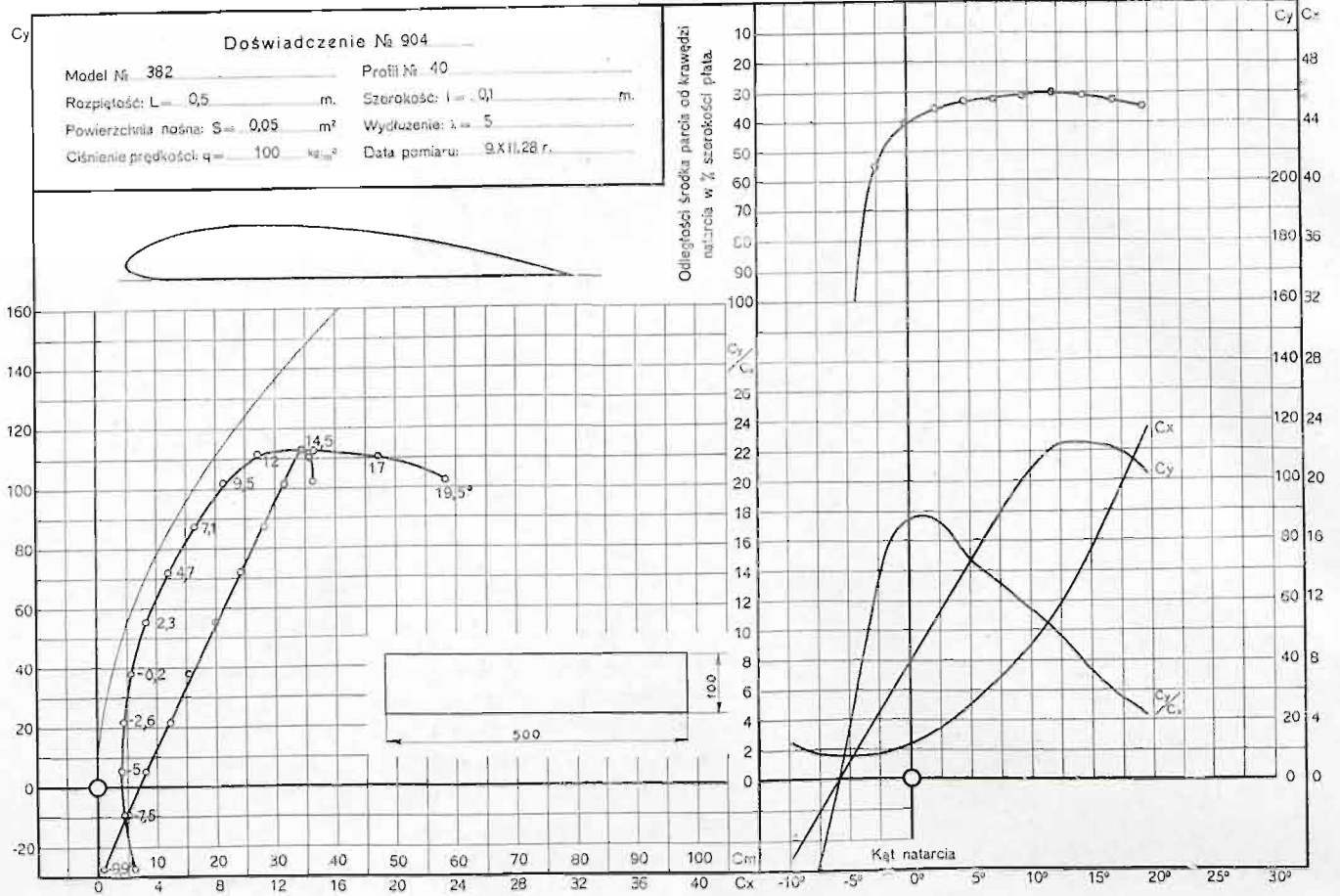
1. la force portante de l'aile $P_y = \frac{C_y}{100} q S$
2. la résistance à l'avancement $P_x = \frac{C_x}{100} q S$
3. du moment de la force résultante agissant sur l'aile par rapport à la droite d'intersection de deux plans perpendiculaire l'un à l'autre, dont l'un est perpendiculaire au plan de symétrie de l'aile et contient la corde du profil médian, et l'autre est tangent au bord d'attaque de l'aile.

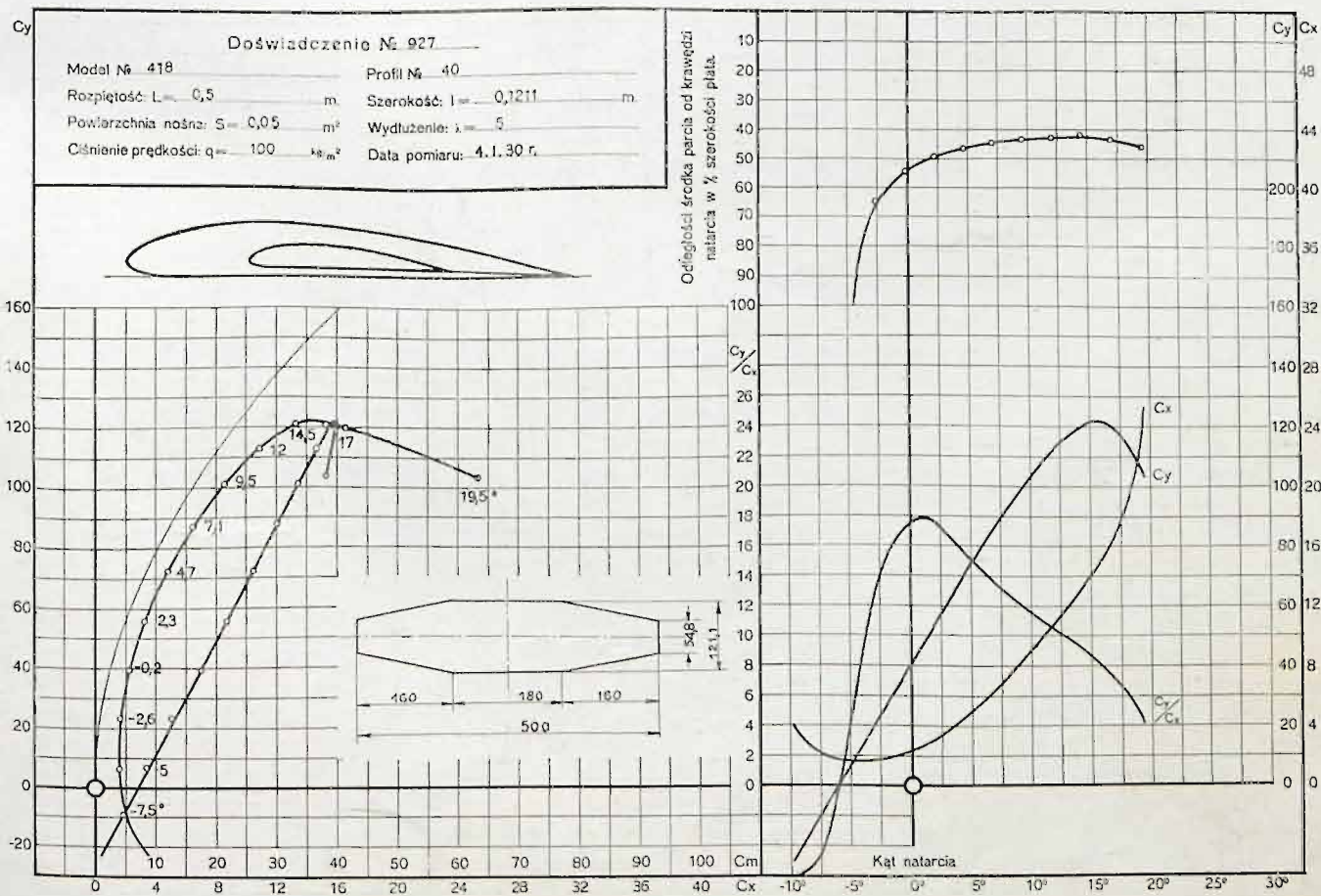
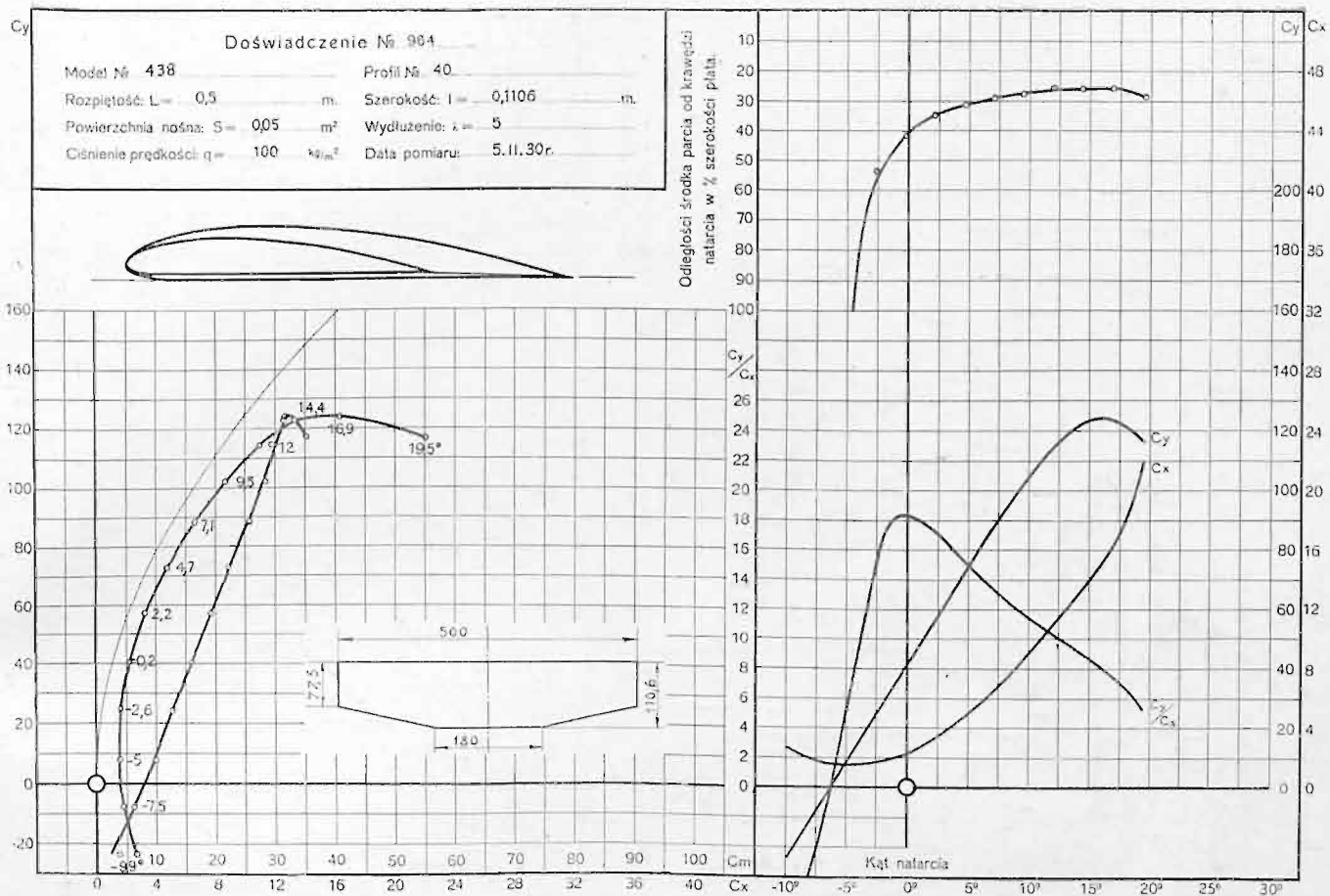
$$M = \frac{C_m}{100} q S l$$

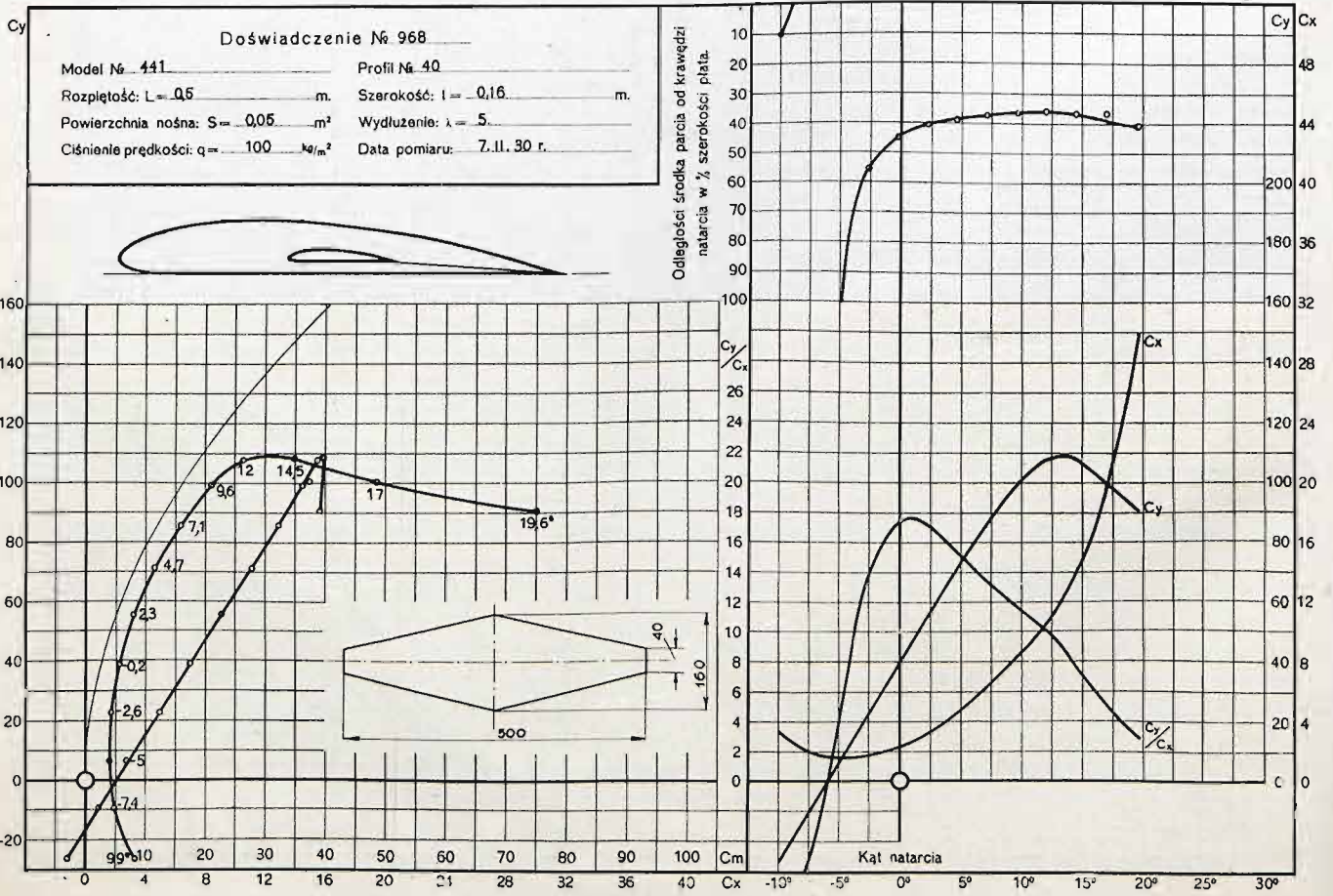
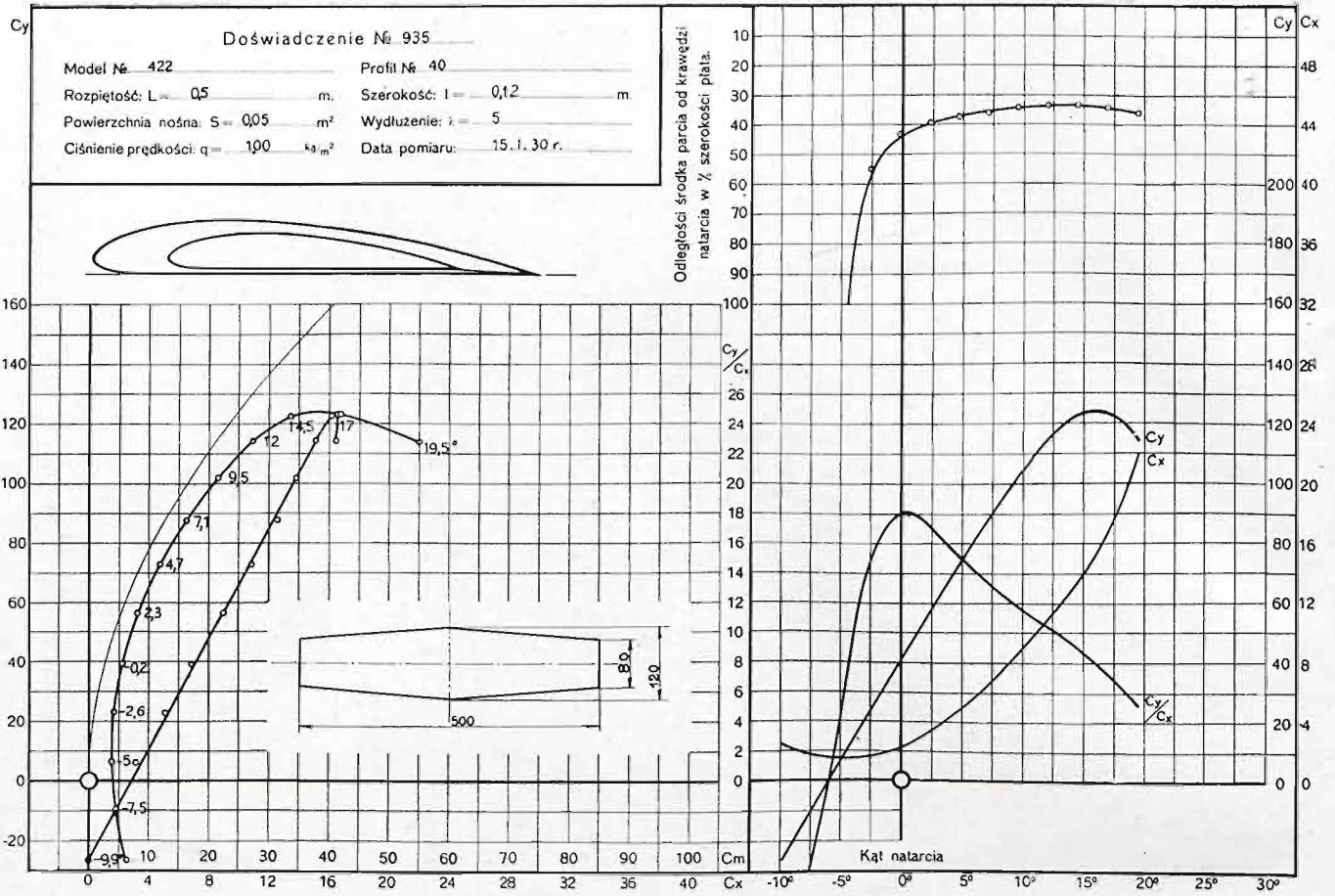
Les figures sur les p. 108 - 116 contiennent les diagrammes des valeurs des coefficients C_x et C_m en fonction de la valeur du coefficient C_y ainsi que les diagrammes des valeurs C_y , C_x et C_y/C_x en fonction de l'angle d'incidence i^0 de l'aile. On a mesuré les angles d'incidence de l'aile par rapport à la corde du profil médian. Sur chaque figure se trouvent, en fonction de l'angle d'incidence i^0 , les distances du centre de poussée (le point d'intersection de la direction de la force aérodynamique résultante avec la corde du profil) de la droite, par rapport à laquelle on a calculé les valeurs des coefficients des moments C_m . On a calculé les distances du centre de poussée en $\%$ de la profondeur du profil médian de l'aile, en se servant de la formule suivante:

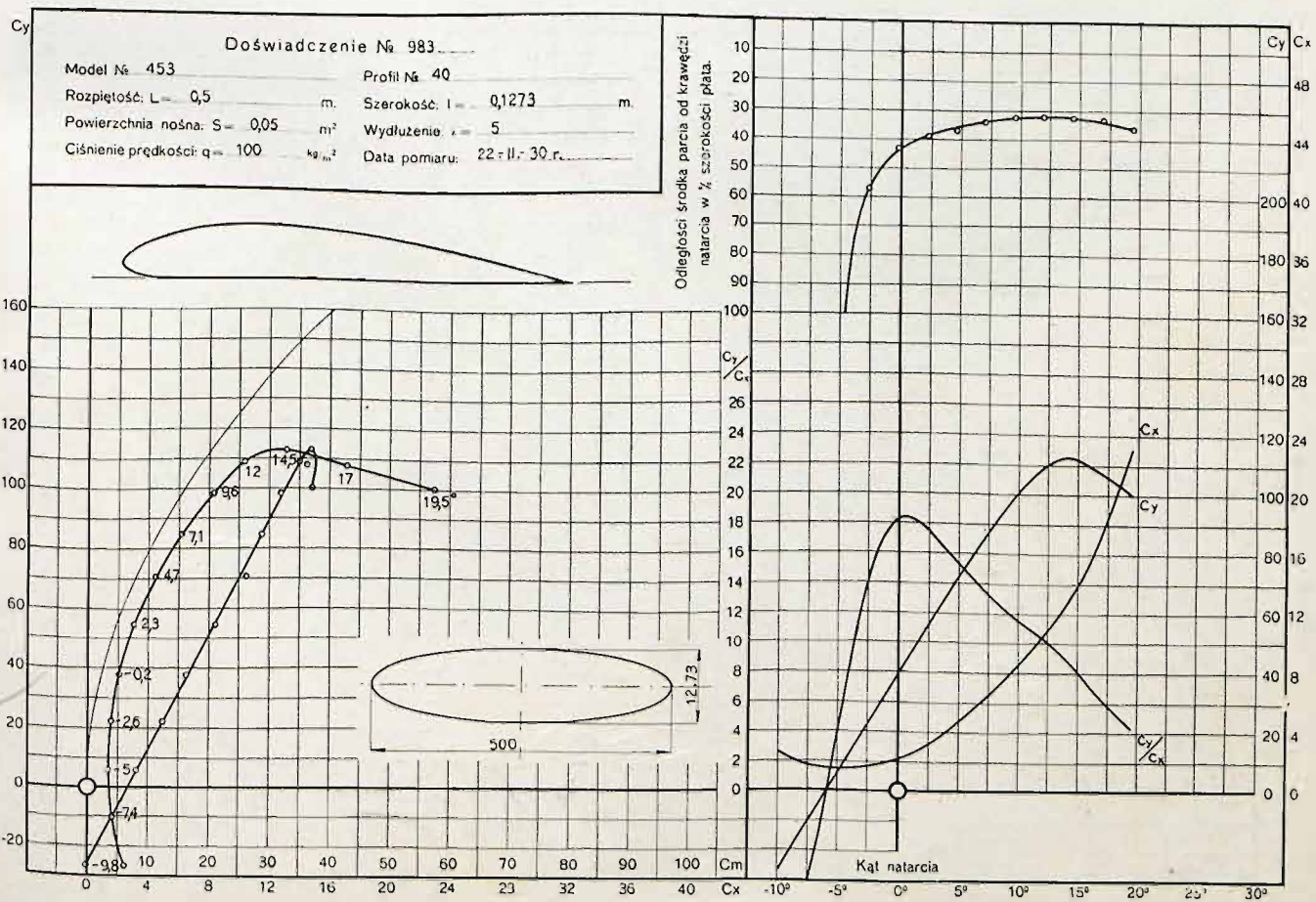
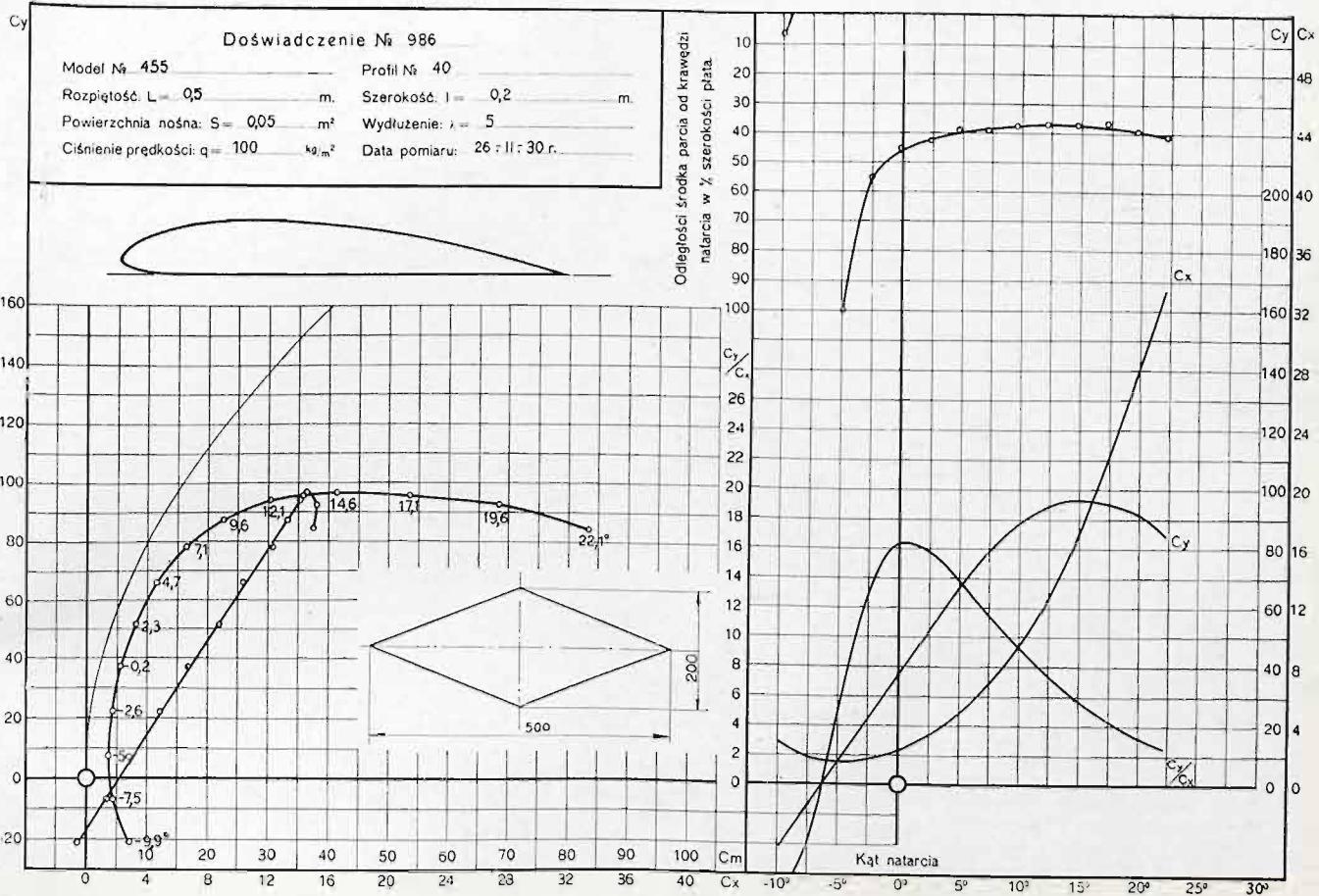
$$e^0/0 = \frac{C_m}{C_y \cos i + C_x \sin i} \cdot 100$$

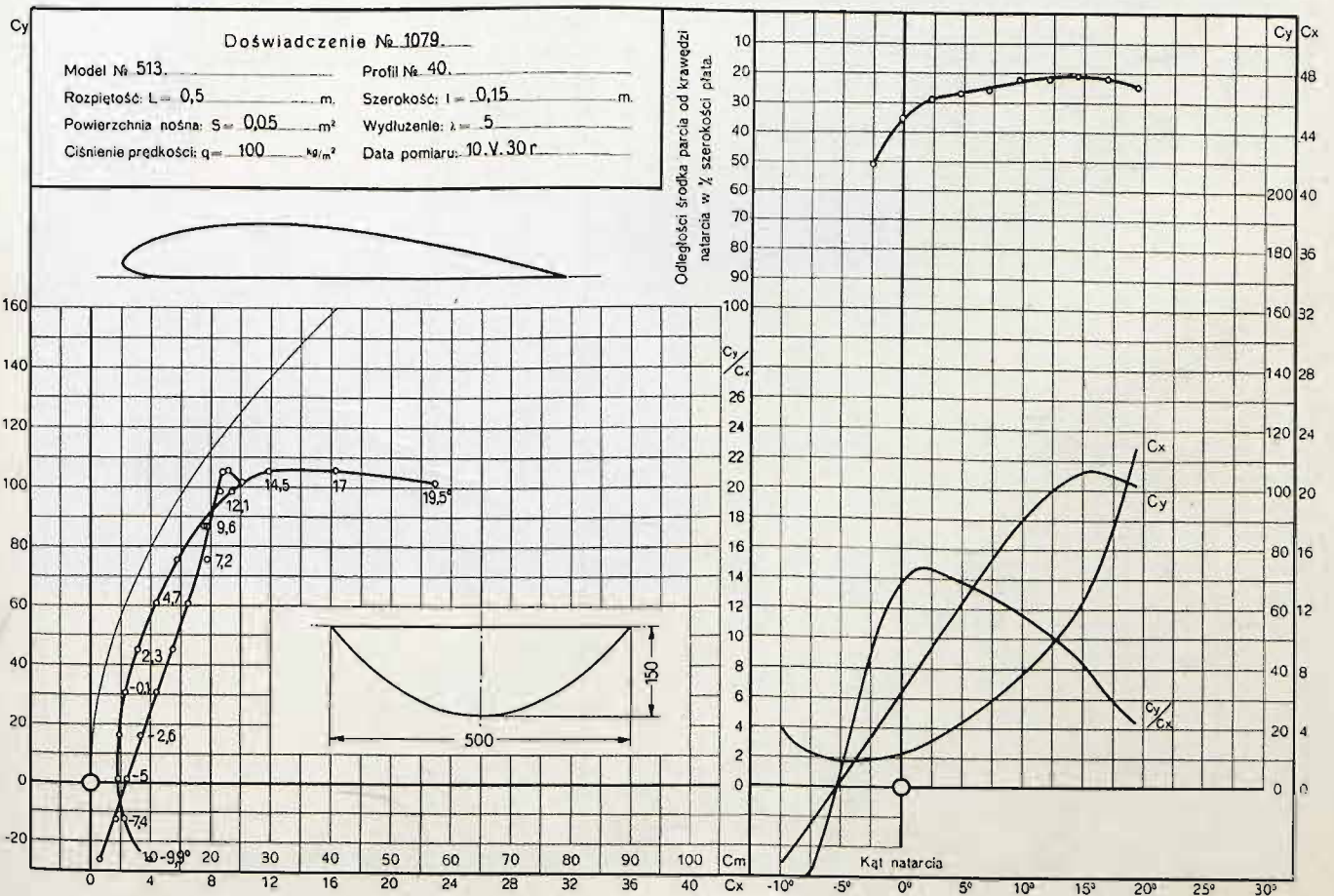
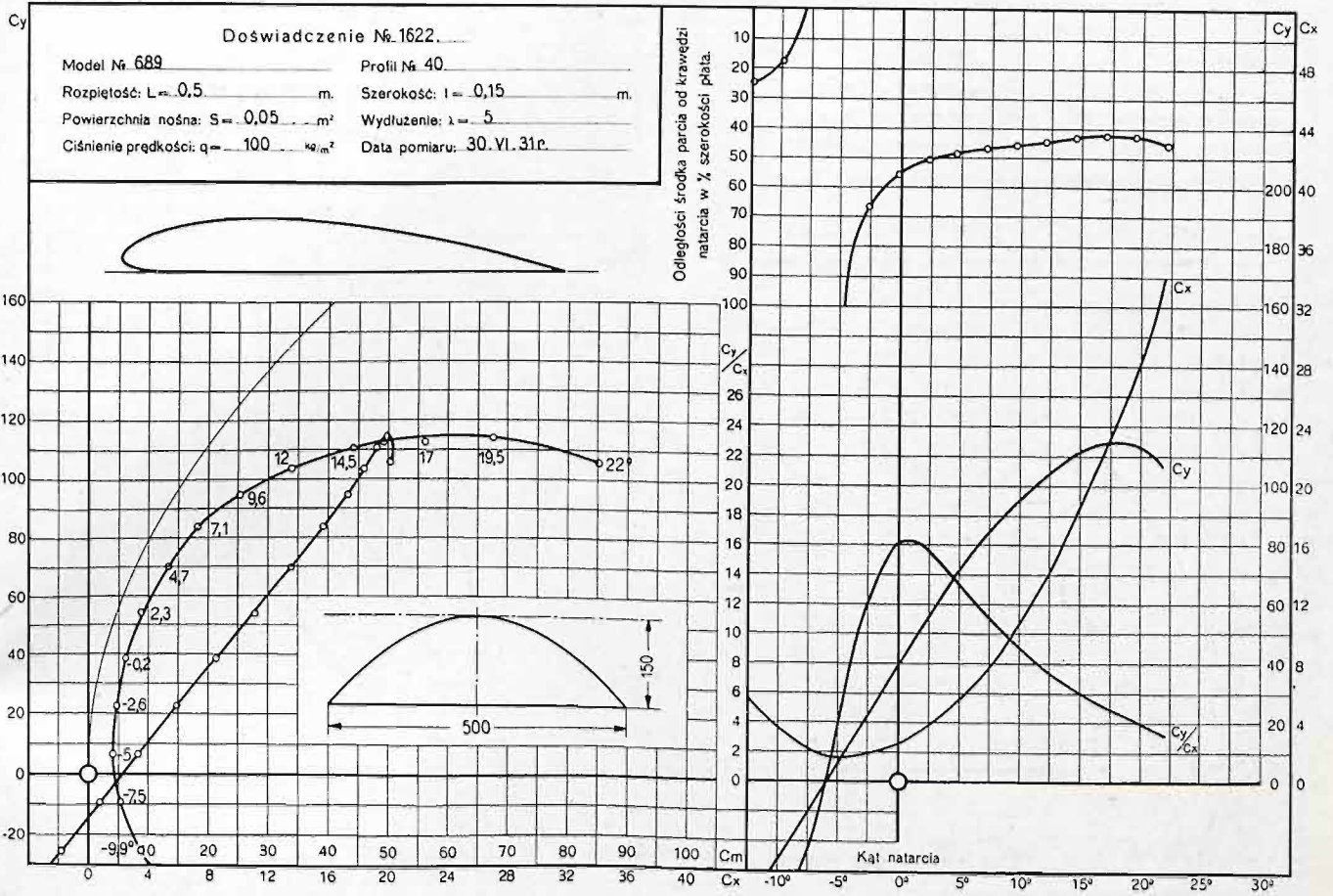
Les tables sur les p. 116 - 120 présentent les valeurs numériques de C_y , C_x , C_m , C_y/C_x , c_y^3/c_x^2 , $e^0/0$, C_n et C_t . Ces tables sont ordonnées suivant les numéros d'essais. Les coordonnées du profil No. 40 se trouvent sur la p. 102.

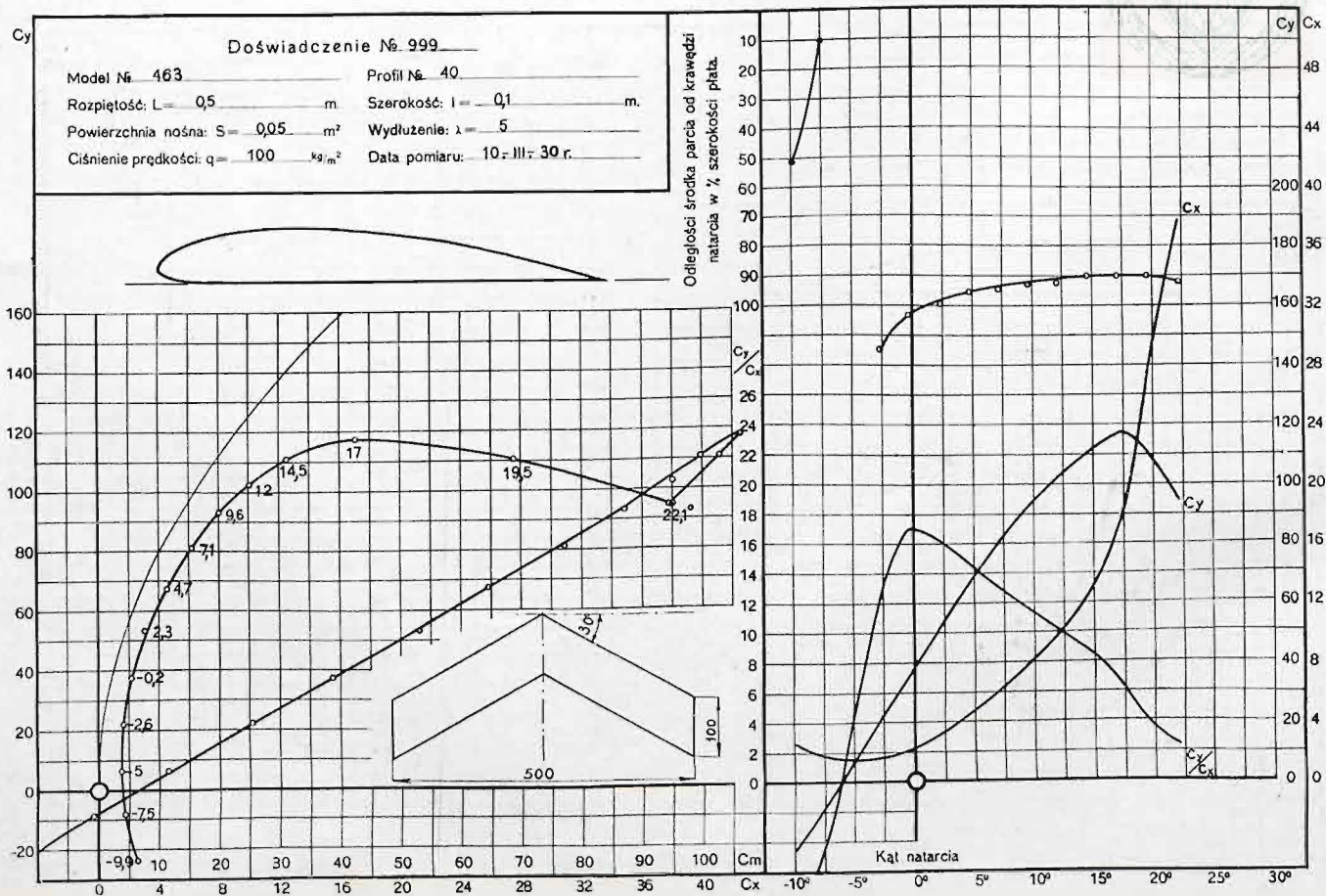
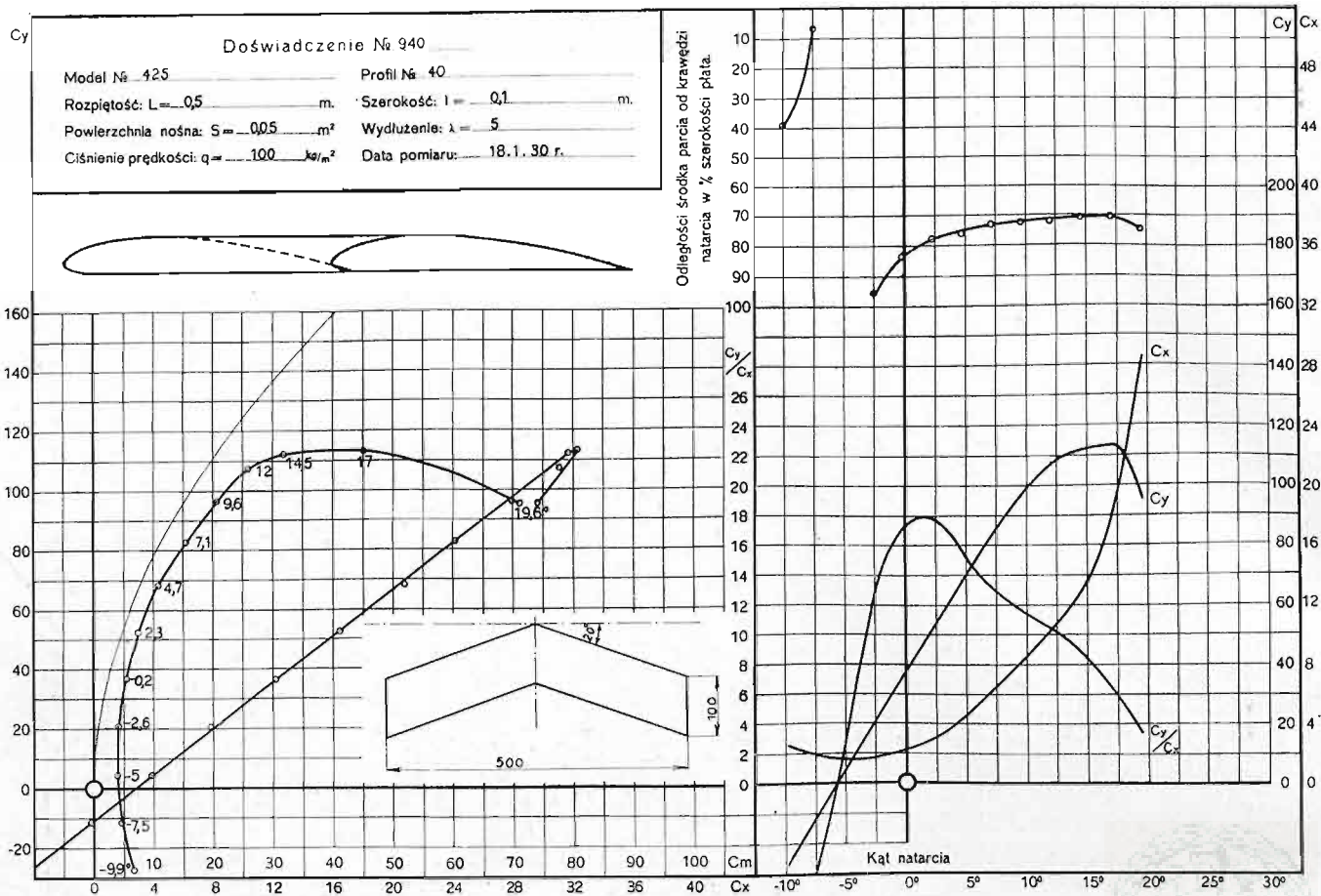


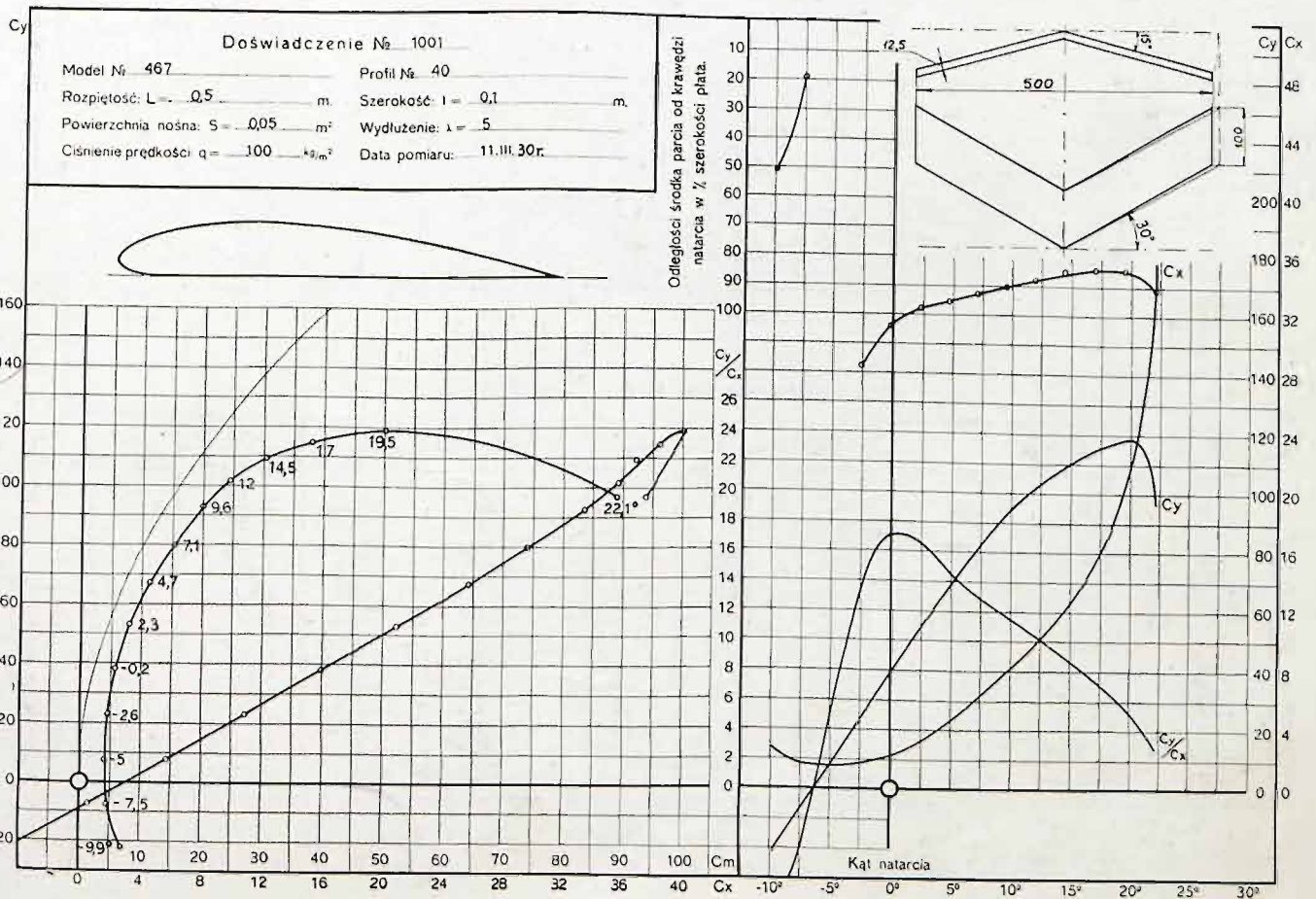
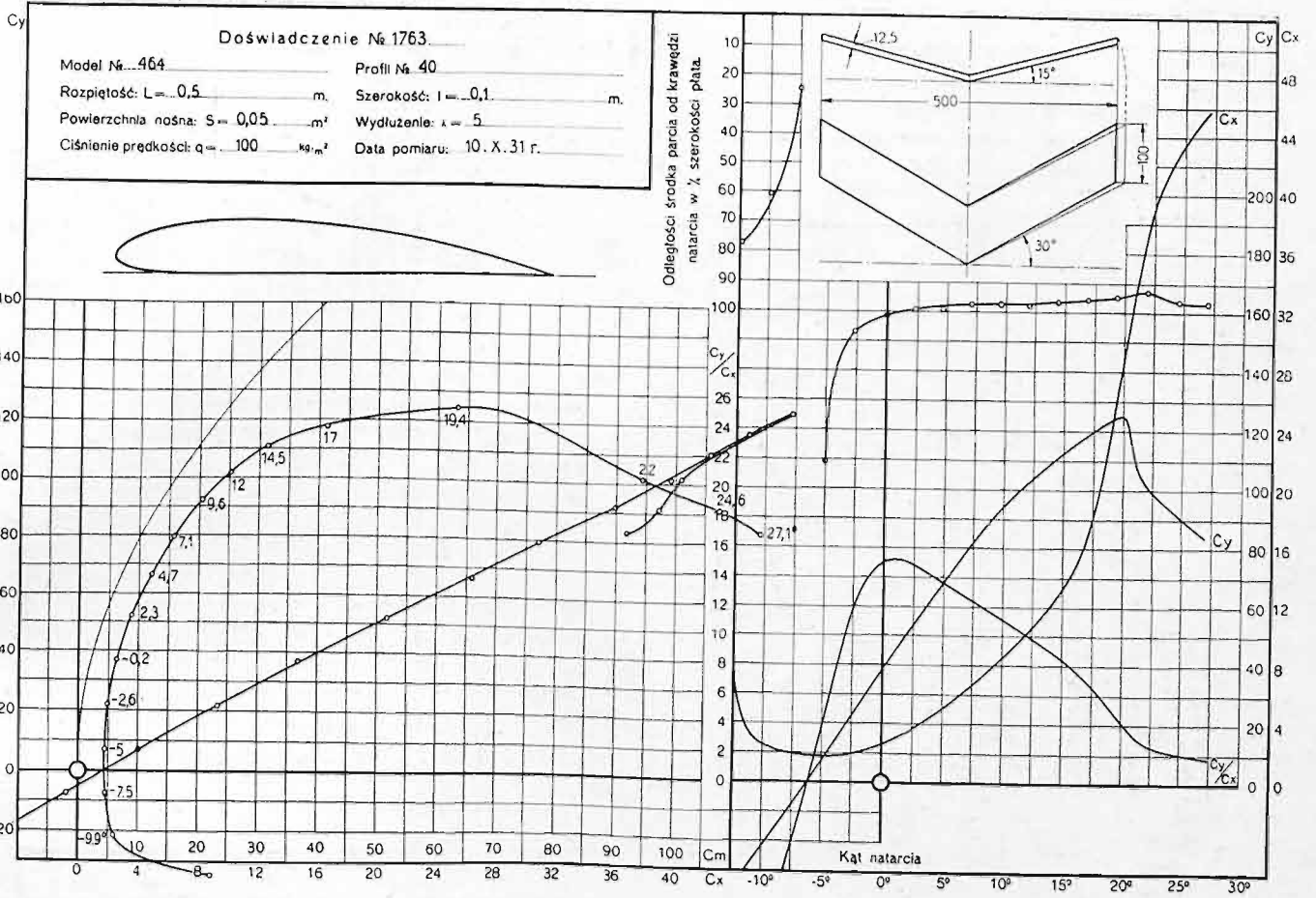


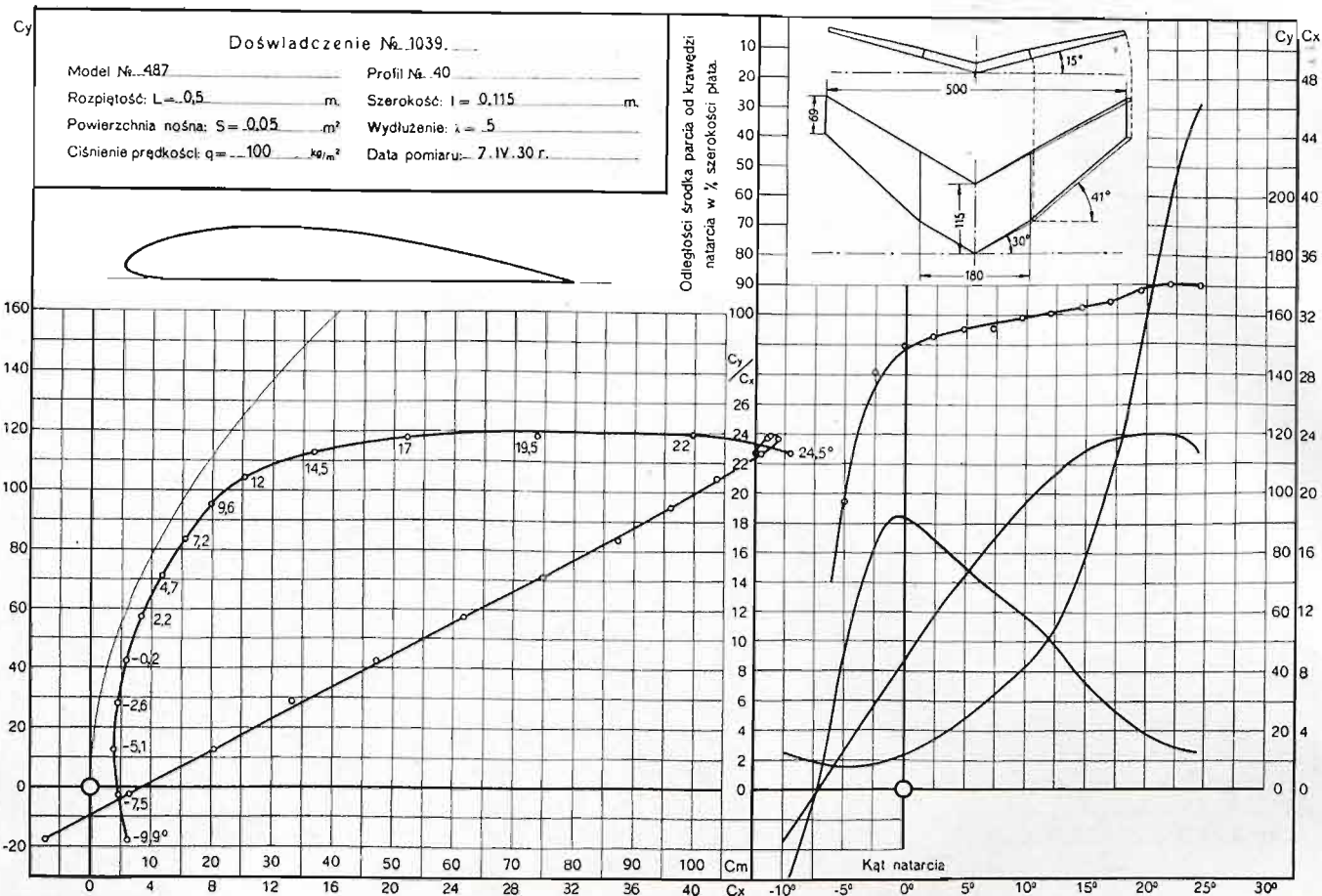












TABLICE LICZBOWE

TABLES NUMÉRIQUES

Doświadczenie Nr. 904. Profil Nr. 40.

i^0	C_y	C_x	C_y / C_x	C_m	e^0 / i^0	c_y^3 / c_x^2	C_n	C_t	i^0
19,5	102,3	23,4	4,4	36,3	34,7	19,6	104,3	-12,1	19,5
17,0	110,4	19,0	5,8	35,8	32,2	37,2	111,1	-14,1	17,0
14,5	112,4	14,7	7,7	34,7	30,8	66,3	112,5	-13,9	14,5
12,0	111,5	10,9	10,3	33,4	30,0	117,1	111,4	-12,6	12,0
9,5	101,5	8,6	11,8	31,7	31,2	139,6	101,6	-8,2	9,5
7,1	87,6	6,9	13,3	28,2	32,2	155,9	87,8	-4,1	7,1
4,7	72,5	4,8	15,1	24,4	33,5	165,2	72,7	-1,1	4,7
2,3	55,9	3,2	17,3	20,1	36,0	174,0	56,0	0,9	2,3
-0,2	38,6	2,2	17,4	15,5	40,2	114,2	38,6	2,5	-0,2
-2,6	22,4	1,7	13,4	12,3	54,9	37,6	22,4	2,7	-2,6
-5,0	5,9	1,5	3,9	8,2	142,6	1,0	5,8	2,0	-5,0
-7,5	-9,4	1,8	-5,3	5,1	-52,9	-2,8	-9,6	0,5	-7,5
-9,9	-26,9	2,4	-11,1	1,1	-3,8	-32,3	-27,0	-2,3	-9,9

Doświadczenie Nr. 927. Profil Nr. 40.

i^0	C_y	C_x	C_y / C_x	C_m	$e^0/0$	c_y^3/c_x^2	C_n	C_t	i^0
19,5	103,7	25,4	4,1	38,2	35,9	17,3	106,2	-10,6	19,5
17,0	119,8	16,6	7,2	39,6	33,2	62,2	119,5	-19,1	17,0
14,5	120,9	13,3	9,1	38,2	31,7	99,0	120,3	-17,3	14,5
12,0	112,9	10,9	10,4	36,6	32,5	121,8	112,7	-12,9	12,0
9,5	101,3	8,6	11,8	33,7	33,2	140,0	101,3	-8,2	9,5
7,1	87,2	6,5	13,4	30,2	34,6	155,5	87,3	-4,4	7,1
4,7	72,6	4,8	15,1	26,3	36,2	165,9	72,8	-1,2	4,7
2,3	55,9	3,2	17,5	21,8	39,0	170,5	56,0	1,0	2,3
-0,2	39,3	2,3	17,4	17,5	44,4	117,9	39,3	2,4	-0,2
-2,6	23,0	1,7	13,7	12,6	54,9	43,1	22,9	2,7	-2,6
-5,0	6,5	1,6	4,1	8,4	132,7	1,1	6,4	2,2	-5,0
-7,5	-9,1	2,0	-4,5	4,7	-51,0	-1,9	-9,3	0,8	-7,5
-9,9	-25,8	4,0	-6,3	0,2	-0,8	-10,4	-26,1	-0,5	-9,9

Doświadczenie Nr. 935. Profil Nr. 40.

i^0	C_y	C_x	C_y / C_x	C_m	$e^0/0$	c_y^3/c_x^2	C_n	C_t	i^0
19,5	114,0	22,0	5,2	41,1	35,7	30,6	114,8	-17,2	19,5
17,0	123,0	16,8	7,3	41,4	33,8	66,2	122,5	-19,9	17,0
14,5	122,5	13,4	9,1	40,5	33,2	101,9	122,0	-17,6	14,5
12,0	114,4	10,9	10,5	37,8	33,1	125,4	114,2	-13,1	12,0
9,5	102,0	8,6	11,9	34,5	33,8	143,2	101,9	-8,4	9,5
7,1	87,7	6,5	13,5	31,4	35,8	160,0	87,8	-4,4	7,1
4,7	73,0	4,8	15,3	27,2	37,1	171,5	73,1	-1,2	4,7
2,3	56,7	3,2	17,6	22,3	39,4	175,0	56,8	1,0	2,3
-0,2	39,6	2,2	17,9	17,1	43,3	126,6	39,6	2,3	-0,2
-2,6	23,3	1,6	14,4	12,7	55,0	47,8	23,2	2,7	-2,6
-5,0	6,7	1,5	4,5	7,8	119,4	1,3	6,5	2,1	-5,0
-7,5	-9,2	1,8	-5,3	4,3	-45,9	-2,5	-9,3	0,5	-7,5
-9,9	-26,1	2,5	-10,4	-0,1	0,3	-28,3	-26,1	-2,0	-9,9

Doświadczenie Nr. 940. Profil Nr. 40.

i^0	C_y	C_x	C_y / C_x	C_m	$e^0/0$	c_y^3/c_x^2	C_n	C_t	i^0
19,6	95,2	28,4	3,4	74,1	74,6	10,7	99,2	-5,1	19,6
17,0	113,4	18,0	6,3	80,6	70,8	44,9	113,7	-15,9	17,0
14,5	112,2	12,7	8,8	79,1	70,6	86,0	111,9	-15,7	14,5
12,0	107,6	10,4	10,4	77,7	71,8	116,2	107,5	-12,2	12,0
9,6	96,4	8,3	11,7	69,7	72,2	131,2	96,4	-7,9	9,6
7,1	82,8	6,2	13,3	60,4	72,8	147,0	82,9	-4,1	7,1
4,7	68,3	4,4	15,7	51,9	75,7	167,4	68,5	-1,3	4,7
2,3	52,8	3,0	17,9	41,1	77,5	168,5	52,9	0,9	2,3
-0,2	36,6	2,2	17,0	30,4	83,0	105,6	36,6	2,3	-0,2
-2,6	20,7	1,7	12,6	19,6	95,1	32,6	20,6	2,6	-2,6
-5,0	4,6	1,6	2,9	9,6	216,5	0,4	4,4	2,0	-5,0
-7,5	-11,1	1,9	-5,9	-0,6	5,2	-3,0	-11,3	0,4	-7,5
-9,9	-27,1	2,7	-10,2	-10,7	39,5	-28,0	-27,1	-2,0	-9,9

Doświadczenie Nr. 949. Profil Nr. 40.

i^0	C_y	C_x	C_y / C_x	C_m	$e^0/0$	c_y^3/c_x^2	C_n	C_t	i^0
19,5	107,4	22,4	4,8	40,8	37,4	24,8	108,8	-14,7	19,5
17,0	115,8	18,2	6,4	41,9	36,0	47,0	116,1	-16,5	17,0
14,5	119,3	13,5	8,9	41,0	34,5	93,6	118,9	-16,8	14,5
12,0	113,6	11,0	10,3	38,8	34,2	119,8	113,4	-12,8	12,0
9,5	101,6	8,8	11,6	36,3	35,7	136,6	101,7	-8,1	9,5
7,1	87,3	6,7	13,1	31,9	36,4	149,7	87,4	-4,2	7,1
4,7	72,8	4,8	15,1	27,5	37,7	166,0	73,0	-1,2	4,7
2,2	57,5	3,4	17,0	24,3	42,2	166,4	57,6	1,1	2,2
-0,2	39,5	2,3	17,3	18,2	46,1	117,4	39,5	2,4	-0,2
-2,6	23,7	1,7	14,2	14,3	60,5	47,7	23,6	2,7	-2,6
-5,0	7,2	1,5	4,7	9,5	134,3	1,6	7,1	2,2	-5,0
-7,5	-8,7	1,8	-4,8	6,3	-70,9	-2,0	-8,8	0,6	-7,5
-9,9	-25,1	2,6	-9,6	0,8	-3,1	-23,1	-25,2	-1,7	-9,9

Doświadczenie Nr. 964. Profil Nr. 40.

i^0	C_y	C_x	C_y / C_x	C_m	$e^0/0$	c_y^3/c_x^2	C_n	C_t	i^0
19,5	116,8	22,0	5,3	35,2	29,4	32,9	117,5	—18,1	19,5
16,9	123,8	16,3	7,6	31,5	25,8	71,8	123,3	—20,3	16,9
14,4	122,5	13,3	9,2	31,1	26,6	104,0	122,0	—17,5	14,4
12,0	114,3	11,0	10,4	29,4	26,0	124,2	114,1	—13,1	12,0
9,5	102,0	8,7	11,8	28,3	27,9	141,3	102,0	—8,3	9,5
7,1	88,1	6,6	13,4	25,6	29,2	158,5	88,2	—4,4	7,1
4,7	72,9	4,8	15,3	22,3	30,5	167,9	73,1	—1,2	4,7
2,2	57,2	3,2	17,7	19,3	33,8	177,7	57,3	1,0	2,2
—0,2	40,3	2,2	18,3	15,9	39,4	135,0	40,3	2,3	—0,2
—2,6	24,4	1,6	14,9	12,6	52,3	54,3	24,4	2,7	—2,6
—5,0	8,0	1,5	5,3	10,0	126,1	2,2	7,8	2,2	—5,0
—7,5	—7,6	1,7	—4,4	6,3	—77,5	—1,5	—7,8	0,7	—7,5
—9,9	—23,6	2,6	—9,0	3,8	—16,1	—19,4	—23,7	—1,5	—9,9

Doświadczenie Nr. 968. Profil Nr. 40.

i^0	C_y	C_x	C_y / C_x	C_m	$e^0/0$	c_y^3/c_x^2	C_n	C_t	i^0
19,6	90,7	29,9	3,0	39,1	40,9	8,3	95,5	—2,4	19,6
17,0	100,1	19,4	5,2	37,4	36,8	26,5	101,4	—10,6	17,0
14,5	108,0	14,0	7,7	39,8	36,8	64,6	108,1	—13,5	14,5
12,0	107,5	10,6	10,2	38,7	36,0	111,9	107,4	—12,0	12,0
9,6	99,0	8,4	11,8	36,2	36,5	138,6	99,0	—8,4	9,6
7,1	85,5	6,3	13,5	32,2	37,6	155,8	85,6	—4,3	7,1
4,7	71,0	4,6	15,5	27,8	39,0	170,0	71,2	—1,2	4,7
2,3	55,1	3,2	17,2	22,6	40,9	163,3	55,2	1,0	2,3
—0,2	38,7	2,2	17,3	17,4	45,1	115,5	38,7	2,4	—0,2
—2,6	22,6	1,7	13,5	12,5	55,5	41,1	22,6	2,7	—2,6
—5,0	6,3	1,6	3,8	7,0	114,1	0,9	6,1	2,2	—5,0
—7,4	—9,7	1,9	—5,1	2,2	—22,7	—2,5	—9,8	0,6	—7,4
—9,9	—26,6	3,4	—8,0	—2,9	10,8	—16,8	—26,8	—1,3	—9,9

Doświadczenie Nr. 983. Profil Nr. 40.

i^0	C_y	C_x	C_y / C_x	C_m	$e^0/0$	c_y^3/c_x^2	C_n	C_t	i^0
19,5	100,3	23,0	4,4	37,1	36,3	19,1	102,3	—11,7	19,5
17,0	107,9	17,2	6,3	36,2	33,4	42,7	108,2	—15,1	17,0
14,5	112,8	13,2	8,6	36,9	32,7	82,9	112,5	—15,5	14,5
12,0	108,8	10,4	10,5	35,0	32,2	119,0	108,6	—12,5	12,0
9,6	98,2	8,3	11,8	31,9	32,5	137,2	98,2	—8,3	9,6
7,1	84,5	6,2	13,6	28,8	34,1	156,0	84,6	—4,3	7,1
4,7	70,6	4,5	15,7	26,2	37,0	174,2	70,7	—1,3	4,7
2,3	54,4	3,1	17,7	21,3	39,0	170,2	54,5	0,9	2,3
—0,2	37,7	2,1	18,1	16,3	43,2	123,4	37,7	2,2	—0,2
—2,6	22,0	1,6	13,9	12,5	57,1	42,3	21,9	2,6	—2,6
—5,0	5,9	1,5	4,0	8,2	144,2	1,0	5,7	2,0	—5,0
—7,4	—10,2	1,7	—6,2	4,0	—38,9	—3,9	—10,4	0,3	—7,4
—9,8	—26,9	2,5	—10,8	—0,2	0,6	—32,3	—26,9	—2,1	—9,8

Doświadczenie Nr. 986. Profil Nr. 40.

i^0	C_y	C_x	C_y / C_x	C_m	$e^0/0$	c_y^3/c_x^2	C_n	C_t	i^0
22,1	84,6	33,4	2,5	37,6	41,2	5,4	90,9	—0,8	22,1
19,6	92,6	27,4	3,4	38,2	39,5	10,6	96,4	—5,4	19,6
17,1	95,7	21,4	4,5	36,0	36,7	19,2	97,7	—7,5	17,1
14,6	96,8	16,6	5,8	36,4	37,2	33,0	97,7	—8,4	14,6
12,1	94,2	12,2	7,7	35,3	37,3	55,9	94,7	—7,7	12,1
9,6	87,5	9,1	9,6	33,3	37,8	81,5	87,8	—5,7	9,6
7,1	78,0	6,6	11,8	30,8	39,3	109,0	78,3	—3,0	7,1
4,7	66,1	4,7	14,1	26,1	39,4	132,0	66,2	—0,7	4,7
2,3	51,6	3,2	15,9	22,1	42,8	130,0	51,6	1,1	2,3
—0,2	37,1	2,3	16,4	16,7	45,1	99,1	37,1	2,4	—0,2
—2,6	22,2	1,7	12,7	12,3	55,5	35,9	22,1	2,8	—2,6
—5,0	7,3	1,4	5,1	7,2	99,9	1,9	7,2	2,1	—5,0
—7,5	—6,9	1,8	—3,9	3,4	—48,5	—1,1	—7,1	0,9	—7,5
—9,9	—21,0	2,9	—7,3	—1,4	6,7	—11,6	—21,2	—0,8	—9,9

Doświadczenie Nr. 999. Profil Nr. 40.

i^0	C_y	C_x	C_y / C_x	C_m	$e^0/0$	c_y^3/c_x^2	C_n	C_t	i^0
22,1	94,8	37,8	2,5	94,4	92,1	6,0	102,2	— 0,5	22,1
19,5	110,9	27,5	4,0	102,7	90,0	18,0	113,8	— 11,0	19,5
17,0	117,4	17,1	6,9	106,1	90,2	55,4	117,4	— 17,9	17,0
14,5	110,5	12,5	8,8	99,5	90,2	85,6	110,1	— 15,5	14,5
12,0	102,9	10,1	10,2	95,0	92,4	107,5	102,8	— 11,6	12,0
9,6	93,5	8,0	11,7	87,0	92,9	126,4	93,6	— 7,8	9,6
7,1	81,3	6,3	13,0	77,1	94,7	136,2	81,4	— 3,9	7,1
4,7	67,6	4,6	14,7	64,5	95,3	145,0	67,8	— 0,9	4,7
2,3	53,3	3,1	17,1	53,2	99,5	156,3	53,4	1,0	2,3
— 0,2	37,7	2,2	17,1	38,7	102,7	110,4	37,7	2,3	— 0,2
— 2,6	22,2	1,7	13,0	25,3	114,4	37,7	22,2	2,7	— 2,6
— 5,0	6,8	1,5	4,5	11,6	174,5	1,4	6,6	2,1	— 5,0
— 7,5	— 8,2	1,8	— 4,6	— 0,9	10,5	— 1,7	— 8,4	0,7	— 7,5
— 9,9	— 23,2	2,6	— 8,9	— 12,0	51,6	— 18,4	— 23,1	— 1,4	— 9,9

Doświadczenie Nr. 1001. Profil Nr. 40.

i^0	C_y	C_x	C_y / C_x	C_m	$e^0/0$	c_y^3/c_x^2	C_n	C_t	i^0
22,1	97,0	35,6	2,7	93,9	90,6	7,2	103,3	— 3,4	22,1
19,5	119,0	20,2	5,7	100,3	84,1	41,4	119,0	— 20,6	19,5
17,0	114,8	15,2	7,6	96,1	84,0	65,5	114,2	— 19,0	17,0
14,5	109,1	12,1	9,0	92,3	84,8	88,4	108,7	— 15,6	14,5
12,0	101,7	9,8	10,4	89,2	87,8	109,4	101,5	— 11,6	12,0
9,6	92,8	8,0	11,6	83,6	90,0	125,1	92,9	— 7,7	9,6
7,1	80,1	6,1	13,1	74,2	92,4	134,8	80,3	— 3,9	7,1
4,7	67,3	4,5	14,9	64,3	95,3	150,0	67,6	— 1,0	4,7
2,3	53,4	3,2	16,8	52,3	97,7	152,0	53,5	1,0	2,3
— 0,2	38,3	2,2	17,1	39,9	104,0	112,1	38,3	2,4	— 0,2
— 2,6	23,2	1,8	13,0	27,2	117,7	39,4	23,1	2,8	— 2,6
— 5,0	7,8	1,6	5,1	14,3	186,0	2,0	7,7	2,2	— 5,0
— 7,5	— 7,2	1,7	— 4,2	0,7	— 9,7	— 1,3	— 7,3	0,8	— 7,5
— 9,9	— 21,8	2,8	— 7,9	— 11,2	50,9	— 13,8	— 22,0	— 1,0	— 9,9

Doświadczenie Nr. 1039. Profil Nr. 40.

i^0	C_y	C_x	C_y / C_x	C_m	$e^0/0$	c_y^3/c_x^2	C_n	C_t	i^0
24,5	113,3	46,4	2,5	110,2	89,8	6,8	122,4	— 4,8	24,5
22,0	119,7	39,9	3,0	112,7	89,2	10,8	125,9	— 7,9	22,0
19,5	118,5	29,5	4,0	112,1	92,0	19,1	121,6	— 11,8	19,5
17,0	118,2	20,9	5,7	114,0	95,6	37,8	119,1	— 14,5	17,0
14,5	113,2	14,7	7,7	111,2	97,2	66,9	113,3	— 14,0	14,5
12,0	104,6	10,1	10,3	103,8	99,5	111,7	104,4	— 11,8	12,0
9,6	95,2	7,9	12,0	96,0	100,9	136,5	95,2	— 8,2	9,6
7,2	83,8	6,2	13,5	87,5	104,2	155,2	84,0	— 4,3	7,2
4,7	71,5	4,7	15,3	74,9	104,5	166,8	71,7	— 1,1	4,7
2,2	57,6	3,4	17,2	61,9	107,2	169,4	57,7	1,2	2,2
— 0,2	42,9	2,3	18,4	47,4	110,3	146,1	42,9	2,5	— 0,2
— 2,6	28,2	1,8	16,1	33,3	118,9	74,4	28,1	3,1	— 2,6
— 5,1	12,8	1,5	8,5	20,4	162,5	9,1	12,6	2,6	— 5,1
— 7,5	— 2,1	1,9	— 1,1	6,3	— 269,5	0,0	— 2,4	1,6	— 7,5
— 9,9	— 17,5	2,5	— 7,1	— 7,6	43,3	— 8,9	— 17,6	— 0,6	— 9,9

Doświadczenie Nr. 1056. Profil Nr. 40.

i^0	C_y	C_x	C_y / C_x	C_m	$e^0/0$	c_y^3/c_x^2	C_n	C_t	i^0
22,0	101,0	31,3	3,2	46,6	44,1	10,5	105,4	— 8,8	22,0
19,5	114,6	23,5	4,9	46,8	40,3	27,2	116,0	— 16,1	19,5
17,0	122,4	17,9	6,8	48,0	39,2	57,4	122,3	— 18,7	17,0
14,5	119,9	14,0	8,5	47,9	40,0	87,3	119,6	— 16,4	14,5
12,0	112,2	10,5	10,7	46,9	41,8	128,2	112,0	— 13,1	12,0
9,6	99,7	8,2	12,2	42,7	42,8	147,8	99,7	— 8,7	9,6
7,1	85,9	6,1	14,1	38,5	44,8	170,8	86,1	— 4,4	7,1
4,7	71,5	4,4	16,2	33,4	46,7	188,6	71,6	— 1,4	4,7
2,3	55,0	3,0	18,6	27,6	50,1	189,7	55,1	0,7	2,3
— 0,2	38,6	2,0	18,9	20,9	54,2	137,8	38,6	2,2	— 0,2
— 2,6	22,7	1,5	15,1	16,0	70,8	51,6	22,6	2,6	— 2,6
— 5,0	5,8	1,4	4,1	9,5	169,4	1,0	5,6	1,9	— 5,0
— 7,5	— 10,4	1,8	— 5,7	4,7	— 45,0	— 3,4	— 10,5	0,5	— 7,5
— 9,9	— 27,7	3,0	— 9,3	— 1,6	5,7	— 23,9	— 27,8	— 1,8	— 9,9

Doświadczenie Nr. 1079. Profil Nr. 40.

i^0	C_y	C_x	C_y / C_x	C_m	$e^0/0$	c_y^3/c_x^2	C_n	C_t	i^0
19,5	101,5	22,9	4,4	25,2	24,3	19,9	103,4	-12,3	19,5
17,0	105,6	16,3	6,5	23,0	21,7	44,3	105,8	-15,2	17,0
14,5	105,5	11,8	8,9	22,0	20,9	83,9	105,2	-14,9	14,5
12,1	98,4	9,4	10,4	21,5	21,9	106,8	98,2	-11,3	12,1
9,6	87,0	7,5	11,6	19,1	22,1	116,5	87,1	-7,2	9,6
7,2	76,0	5,8	13,2	19,3	25,4	131,6	76,1	-3,8	7,2
4,7	61,1	4,3	14,1	16,2	26,5	121,3	61,3	-0,6	4,7
2,3	45,6	3,1	14,7	13,0	28,5	98,4	45,7	1,2	2,3
-0,1	31,1	2,3	13,6	11,0	35,2	57,4	31,1	2,3	-0,1
-2,6	16,5	1,9	8,8	8,3	50,7	12,8	16,4	2,7	-2,6
-5,0	1,8	1,8	1,0	6,0	372,2	0,0	1,6	2,0	-5,0
-7,4	-12,2	2,2	-5,6	4,1	-33,2	-3,9	-12,4	0,6	-7,4
-9,9	-26,0	4,0	-6,5	1,7	-6,3	-10,8	-26,3	-0,5	-9,9

Doświadczenie Nr. 1620. Profil Nr. 40.

i^0	C_y	C_x	C_y / C_x	C_m	$e^0/0$	c_y^3/c_x^2	C_n	C_t	i^0
22,1	89,6	36,0	2,5	30,0	31,0	5,6	96,6	-0,2	22,1
19,5	109,5	22,3	4,9	28,3	25,5	26,4	111,0	-16,6	19,5
17,0	113,5	17,5	6,5	27,2	23,9	48,0	113,7	-16,5	17,0
14,5	116,3	13,0	9,0	25,2	21,8	92,9	115,9	-16,5	14,5
12,0	107,5	10,7	10,1	24,8	23,1	109,7	107,4	-11,9	12,0
9,6	94,6	8,4	11,3	22,2	23,4	120,7	94,7	-7,6	9,6
7,1	80,6	6,3	12,9	20,1	24,9	133,8	80,8	-3,6	7,1
4,7	66,2	4,6	14,4	18,9	28,5	138,1	66,4	-0,8	4,7
2,3	49,9	3,1	16,2	14,9	29,9	130,0	49,9	1,0	2,3
-0,2	34,5	2,2	15,4	12,6	36,6	82,0	34,5	2,3	-0,2
-2,6	18,8	1,7	11,2	9,3	49,9	23,6	18,7	2,6	-2,6
-5,0	3,3	1,6	2,1	7,1	221,0	0,2	3,2	1,8	-5,0
-7,4	-11,9	1,8	-6,5	4,2	-34,7	-5,0	-12,1	0,3	-7,4
-9,9	-27,9	2,6	-10,8	1,6	-5,6	-32,6	-27,9	-2,2	-9,9
-12,3	-35,1	10,8	-3,3	-5,1	13,8	-36,8	-36,6	3,1	-12,3

Doświadczenie Nr. 1622. Profil Nr. 40.

i^0	C_y	C_x	C_y / C_x	C_m	$e^0/0$	c_y^3/c_x^2	C_n	C_t	i^0
22,0	105,9	34,0	3,1	50,3	45,4	10,2	110,9	-8,1	22,0
19,5	114,3	27,1	4,2	49,9	42,6	20,4	116,8	-12,7	19,5
17,0	112,8	22,5	5,0	48,9	42,6	28,3	114,5	-11,5	17,0
14,5	110,7	17,6	6,3	48,0	43,0	43,7	111,6	-10,6	14,5
12,0	103,5	13,5	7,6	45,8	44,0	60,5	104,1	-8,3	12,0
9,6	94,2	10,0	9,4	43,2	45,6	82,4	94,5	-5,9	9,6
7,1	83,3	7,2	11,6	39,2	46,9	111,0	83,6	-3,0	7,1
4,7	69,4	5,2	13,8	33,9	48,6	121,5	69,6	-0,4	4,7
2,3	53,9	3,5	15,4	27,8	50,0	127,8	54,0	1,3	2,3
-0,2	38,4	2,4	16,0	21,3	55,3	97,6	38,4	2,5	-0,2
-2,6	22,4	1,9	11,9	14,8	66,4	31,6	22,3	2,9	-2,6
-5,0	6,1	1,6	3,9	8,1	137,3	0,9	5,9	2,1	-5,0
-7,5	-9,6	2,1	-4,7	+1,8	-18,1	-0,2	-9,8	0,8	-7,5
-9,9	-25,7	3,5	-7,4	-4,5	17,4	-14,0	-25,9	-1,0	-9,9
-12,3	-39,0	5,5	-6,9	-9,6	24,4	-19,7	-39,4	-3,0	-12,3

Doświadczenie Nr. 1763. Profil Nr. 40

i^0	C_y	C_x	C_y / C_x	C_m	$e^0/0$	c_y^3/c_x^2	C_n	C_t	i^0
27,1	83,6	45,8	1,8	91,9	96,1	2,8	95,4	2,8	27,1
24,6	91,5	42,9	2,1	97,3	96,0	4,2	101,1	0,9	24,6
22,0	101,6	37,8	2,7	100,9	92,7	7,4	108,4	-3,1	22,0
19,4	124,4	25,2	4,9	119,6	94,9	30,2	125,8	-17,3	19,4
17,0	117,9	16,5	7,2	112,4	95,4	60,5	117,5	-18,7	17,0
14,5	110,2	12,5	8,8	105,8	96,2	85,9	109,8	-15,5	14,5
12,0	101,6	10,0	10,1	99,1	97,5	104,0	101,5	-11,3	12,0
9,6	92,0	8,1	11,4	89,9	97,6	117,7	92,0	-7,5	9,6
7,1	79,2	6,3	12,5	77,2	97,1	124,3	79,5	-3,4	7,1
4,7	66,4	4,8	13,9	65,9	99,0	127,2	66,6	-0,6	4,7
2,3	52,0	3,5	14,9	51,8	99,3	115,0	52,1	1,4	2,3
-0,2	36,9	2,5	14,8	37,0	100,3	80,8	36,9	2,6	-0,2
-2,6	21,9	1,9	11,5	23,3	107,0	28,9	21,8	2,9	-2,6
-5,0	6,8	1,7	4,0	10,0	150,8	1,1	6,6	2,3	-5,0
-7,5	-7,8	1,8	-4,3	-2,0	24,9	-1,4	-8,0	0,8	-7,5
-9,9	-21,8	2,4	-9,2	-13,3	60,7	-1,9	-21,9	-1,4	-9,9
-12,3	-34,4	8,9	-3,9	-27,4	77,1	-5,2	-35,5	1,3	-12,3